

变形温度对 0.05C-0.13Nb 钢组织和析出物的影响

文建华^{1,2} 孙新军² 刘清友² 阴树标² 项金钟¹

(1 云南大学物理科学技术学院,昆明 650091; 2 钢铁研究总院结构材料研究所,北京 100081)

摘要 用 Gleeble-1500D 热模拟试验机和电子显微镜研究了在 950 ~ 750 °C 不同温度下变形 50% 后 0.05C-0.13Nb 钢的组织和析出相。结果表明,随变形温度由 950 °C 下降至 750 °C,0.05C-0.13Nb 钢中多边形铁素体含量(体积分数)由 20% 增至 80%,多边形铁素体晶粒尺寸由 9 μm 降至 4 μm;变形后的组织由多边形铁素体、粒状贝氏体和 1 ~ 3 μm 马氏体/奥氏体岛组成;钢中的析出物为 1 ~ 10 nm 的 Nb(C,N),随变形温度降低析出物数量增加。

关键词 变形温度 0.13Nb 钢 组织 析出物

Effect of Deforming Temperature on Structure and Precipitates of 0.05C-0.13Nb Steel

Wen Jianhua^{1,2}, Sun Xinjun², Liu Qingyou², Yin Shubiao² and Xiang Jinzhong¹

(1 School of Physical Science and Technology, Yunnan University, Kunming 650091;

2 Institute for Structural Materials, Center Iron and Research Institute, Beijing 100081)

Abstract The structure and precipitates of 0.05C-0.13Nb steel deformed by 50% at different temperature between 950 ~ 750 °C have been studied by Gleeble-1500D thermal simulation machine, SEM and TEM. Results showed that with deforming temperature decreasing from 950 °C to 750 °C, the polygonal ferrite content (volume percent) in 0.05C-0.13Nb steel increased from 20% to 80% and grain size of polygonal ferrite decreased from 9 μm to 4 μm; the deformed structure in steel consisted of polygonal ferrite, grain bainite and 1 ~ 3 μm martensite/austenite island; and the amount of 1 ~ 10 nm precipitates Nb(C,N) in steel increased with decreasing deformed temperature.

Material Index Deforming Temperature, 0.13Nb Steel, Structure, Precipitates

铌能细化晶粒,并通过 Nb(C,N)的析出强化和相变控制提高材料的强度^[1-3]。近些年来,研究和开发出了高温轧制工艺(HTP),通过降低碳含量同时提高铌含量的合金设计,使钢在热机械轧制(TM-CP)过程中,利用固溶铌来提高奥氏体的再结晶温度,使控制轧制可以在更高的温度进行,从而降低了轧机的负荷。然而,轧制温度的提高,亦会对钢材的组织转变和其间碳氮化物的沉淀析出产生影响,从而影响材料的性能^[4,5]。所以,有必要研究微合金钢在低碳高铌条件下,相关轧制参数对组织及性能的影响规律,以便进一步优化铌钢的轧制工艺。

1 试验材料与方法

试验钢的化学成分(%)为:0.05C、0.17Si、1.40Mn、0.13Nb、0.010P、0.002S、0.006N。热模拟和单向压缩试验在 Gleeble-1500D 热模拟试验机上进行,试样尺寸为 Φ8 mm × 12 mm。试样加热到 1 250 °C,均热保温 5 min,以 20 °C/s 的冷却速度分别冷至 950,900,850,800,750 °C 后以 1/s 的变形速率变形 50%,完成后以 5 °C/s 的冷却速度冷至室温。使用截线法统计多边形铁素体的晶粒尺寸。

2 试验结果及讨论

2.1 显微组织

从图 1 可以看出,随变形温度下降,针状铁素体减少,多边形铁素体增多,且晶粒尺寸减小。变形温度较高时,组织由针状铁素体和多边形铁素体组成,此时针状铁素体较多,多边形铁素体的晶界也较为连续和光滑;当变形温度为 750 °C 时,组织大部分转变为多边形铁素体,且晶粒尺寸明显减小,晶界也变得模糊。进一步对组织中的多边形铁素体晶粒尺寸和体积分数进行定量分析(图 2)发现,在 950 ~ 850 °C 这一范围变形后,多边形铁素体晶粒尺寸的减小幅度不大,只有 1.5 μm 左右,而在 850 ~ 750 °C 这一范围变形后,晶粒尺寸从约 7.5 μm 减小到 4 μm。同时,对多边形铁素体体积分数的定量分析表明,随变形温度下降,组织中多边形铁素体体积分数增加;在 950 °C 变形,所得到的室温组织中多边形铁素体较少,体积分数为 20% 左右,当变形温度降低到 750 °C 后,体积分数增加到 80% 以上。

对组织中针状铁素体的微细结构进行分析,发现其由准多边形铁素体、粒状贝氏体和马氏体/奥氏

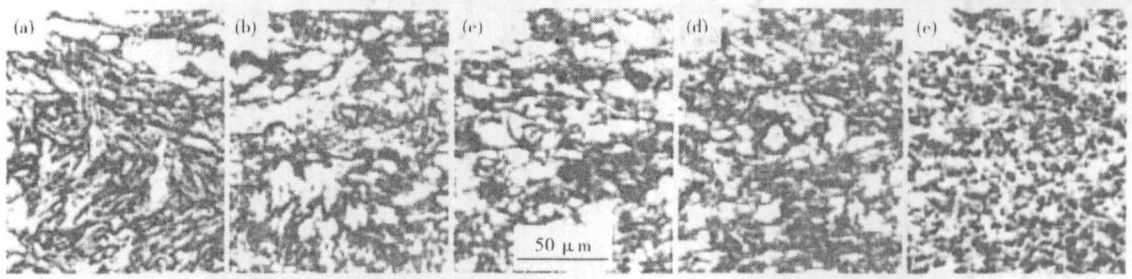


图 1 0.05C-0.13Nb 钢的组织形貌, 变形温度: (a) 950 °C; (b) 900 °C; (c) 850 °C; (d) 800 °C; (e) 750 °C

Fig. 1 Structure morphology of 0.05C-0.13Nb steel, deforming temperature: (a) 950 °C; (b) 900 °C; (c) 850 °C; (d) 800 °C; (e) 750 °C

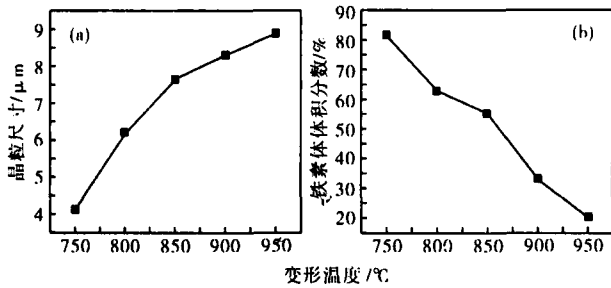


图 2 变形温度对 0.05C-0.13Nb 钢中多边形铁素体晶粒尺寸 (a) 和体积分数 (b) 的影响

Fig. 2 Effect of deformation temperature on grain size (a) and volume percent (b) of polygonal ferrite of 0.05C-0.13Nb steel

体(M/A)岛组成,其 SEM 形貌见图 3(a)。M/A 岛尺寸有大有小,小的尺寸在 1 μm 以下,大的 2~3 μm,且形状极不规则。M/A 岛边界上多为连续分布的马氏体,并逐渐向中间延伸,把奥氏体分隔开来。这可能是由于在较低温度下,一些未转变的细小过冷奥氏体小岛在冷却过程中,由粒子的界面或位错线开始逐渐向马氏体转变,但有一部分则来不及转变,以残余奥氏体的形态保留了下来。图 3(b)为透射电镜观察到的 M/A 岛形貌,黑色部分为马氏体。

2.2 析出物

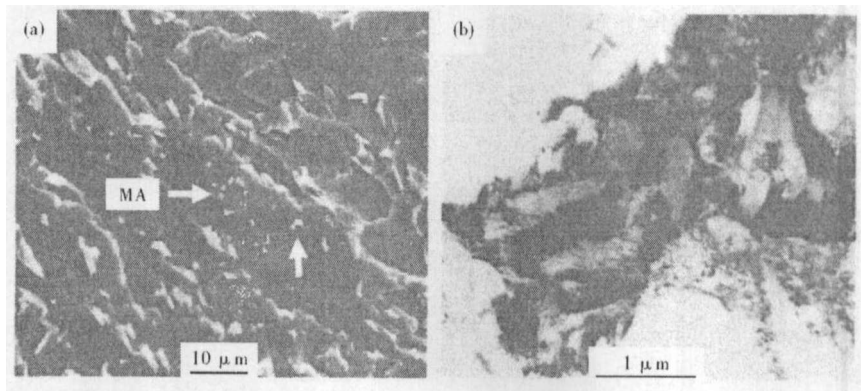


图 3 0.05C-0.13Nb 钢的组织形貌: (a) 针状铁素体, SEM; (b) M/A 岛, TEM

Fig. 3 Structure morphology of 0.05C-0.13Nb steel: (a) acicular ferrite, SEM; (b) M/A island, TEM

选取在 900 °C 和 850 °C 变形冷却后的试样进行透射电镜分析,其 TEM 形貌示于图 4。在 900 °C 变形时, Nb(C, N) 主要在奥氏体晶界或亚晶界上形成,析出的量很少。在 850 °C 变形后,析出情况较为复杂,观察到 3 种类型的 Nb(C, N) 析出相: (1) 部分 Nb(C, N) 在奥氏体晶界或亚晶界上析出,析出相为近球形,尺寸较大,粒径约 10 nm; (2) 在 $\gamma \rightarrow \alpha$ 相变过程中发生了相间析出,析出物呈有序排列,点列间距约 30 nm; (3) 一部分 Nb(C, N) 在铁素体中均匀沉淀析出。

相间析出和在铁素体中均匀析出的析出相与铁

素体之间存在 Baker-Nutting 位向关系,碳氮化铌在各个方向上与基体的错配度不一致,为使体积一定的 Nb(C, N) 与铁素体之间的总界面能最小,析出相为圆片状^[6]。进一步分析得知,相间和铁素体中均匀析出的 Nb(C, N) 尺寸较小,粒径 2~5 nm。图 4 (b) 中标出了析出相在 850 °C 变形冷却后各种不同的析出区域。

试验钢在 900 °C 变形时, Nb(C, N) 析出总量较少,固溶铌较多,因而可以极大地降低 $\gamma \rightarrow \alpha$ 转变的相变温度,并在冷却后获得较多的针状铁素体组织^[2,6,7]。在 850 °C 变形时,绝大多数的 Nb(C, N) 为

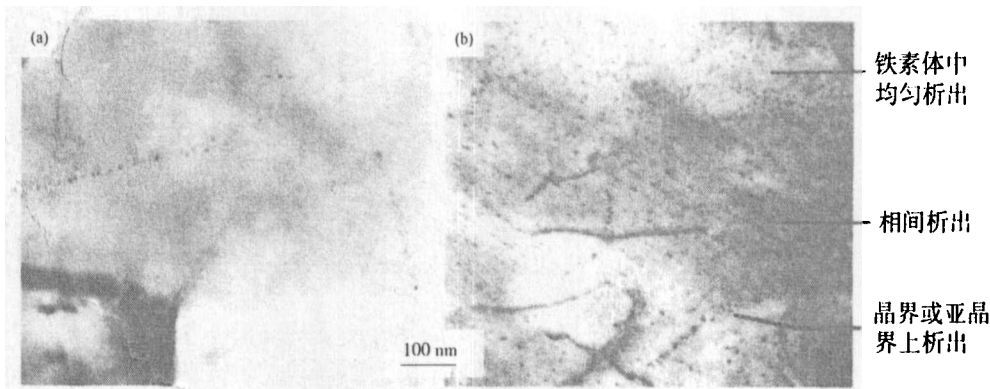


图 4 0.05C-0.13Nb 钢组织形貌, TEM: 变形温度 (a) 900 °C; (b) 850 °C

Fig. 4 Structure morphology of 0.05C-0.13Nb steel, TEM: deformation temperature (a) 900 °C and (b) 850 °C

相间析出和在铁素体中均匀析出,此时 γ/α 相变已经发生或完成,故大量析出相的作用主要体现在细晶强化和析出强化上。当 Nb(C,N)在相间和铁素体中均匀析出时,一定程度上阻碍了铁素体晶粒长大,使铁素体晶粒得到细化,并在位错绕过时在其周围留下位错环,使强度得以提高^[8-10]。由此,对于铌含量较高的低碳微合金钢,配合一定的控轧工艺,可以获得大量的 Nb(C,N)析出相,并可通过改变控轧工艺,改变 Nb(C,N)的沉淀过程和析出量,从而改善钢材的强韧性。

通过比较,在 900 °C 变形冷却后的组织中没有相间析出,因为在 850 °C 变形时,试验钢 $\gamma \rightarrow \alpha$ 转变的相变温度 A_{r3} 比 900 °C 变形时要高, Nb(C,N)形核速率足够快,跟上了 γ/α 相界面的迁移速度。而在 900 °C 变形时, Nb(C,N)的形核速率较慢,跟不上 $\gamma \rightarrow \alpha$ 转变时相界面的迁移,故不发生相间析出。

此外,提高微合金钢铌含量的目的之一是提高高钢中固溶铌的含量,从而提高奥氏体的再结晶温度,使控制轧制可以在更高的温度进行^[4,11]。然而,试验结果表明,高的变形温度不利于 Nb(C,N)的沉淀析出,并使生成多边形铁素体的晶粒尺寸变大,从而使材料的析出强化和细晶强化等作用显著减弱。尽管较高温度时能形成较多具有高位错密度的针状铁素体组织,但材料的硬度仍然较低(测定了在 950, 900, 850, 800, 750 °C 变形后材料的显微硬度 HV 值分别为:254, 253, 260, 266, 275)。

3 结论

(1) 随变形温度下降, 0.05C-0.13Nb 钢中针状铁素体体积分数减少, 多边形铁素体体积分数增大, 晶粒尺寸减小。

(2) 变形温度对 0.05C-0.13Nb 钢中 Nb(C,N)

的析出影响较大; 在 900 °C 变形, Nb(C,N)只在奥氏体晶界或亚晶界上形成,而在 850 °C 变形后, Nb(C,N)除在奥氏体晶界或亚晶界上形成外,还在铁素体中大量沉淀,并存在相间析出。

(3) 对于铌含量较高的低碳微合金钢,可采用控轧控冷工艺得到最佳强韧性。

参考文献

- 1 付俊岩, 东涛. 现代含铌钢技术的发展与应用市场. 杭州: 2004 年全国低合金钢学术年会论文集, 2004
- 2 雍岐龙, 马鸣图, 吴宝榕. 微合金钢-物理和力学冶金. 北京: 机械工业出版社, 1989: 405
- 3 Senuma T. Present Status of Future Prospects for Precipitation Research in the Steel Industry. ISIJ, 2002, 4(1): 1
- 4 Douglas G Stalheim. The Use of High Temperature Processing (HTP) Steel for High Strength Oil and Gas Transmission Pipeline Applications. HSLA Steels 2005 and ISUGS 2005 Proceedings (HSLA Steels). Sanya, 2005, 699
- 5 Anthony J Deardo. 铌在钢中物理冶金基本原理. 铌·科学与技术. 北京: 冶金工业出版社, 2003: 271
- 6 Itman A, Cardoso K R, Kestenbach H J. Quantitative Study of Carbonitride Precipitation in Niobium and Titanium Microalloyed Hot Strip Steel. Materials Science and Technology (UK), 1997, 1(13): 49
- 7 雍岐龙. 钢铁材料中的第二相. 北京: 冶金工业出版社, 2006: 267
- 8 Yang Shanwu, Wang Xuemin. Behavior of Precipitation in Bainitic Steel during Relaxation Processing of RPC Technique. Journal of University of Science and Technology Beijing, 2004, 3(11): 230
- 9 Hong S G, Kang K B, Park C G. Strain-induced Precipitation of NbC in Nb and Nb-Ti Microalloyed HSLA Steels. Scripta Materialia, 2002, 46(2): 163
- 10 Speer J G, Hansen S S. Austenite Recrystallization and Carbonitride Precipitation in Niobium Microalloyed Steels. Metall. Trans. A. 1989, 20(1): 25
- 11 李扬, 刘雅政, 何建中, 等. CSP 工艺中铌的析出特性及对微观组织的影响. 2005 中国钢铁年会论文集, 2005: 810

文建华(1982-), 男, 2004 年云南大学毕业, 从事低合金钢等材料研究。

收稿日期: 2006-12-05